Interazioni Elettrodeboli

prof. Francesco Ragusa Università di Milano

Lezione n. 15

18.11.2025

Esperimento di Frauenfelder Hamiltoniana del decadimento β Proiezioni chirali

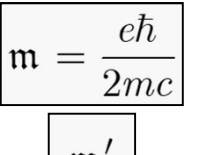
anno accademico 2025-2026

Misura della Polarizzazione

- Per misurare la polarizzazione di un elettrone occorre chiedersi se ci sono effetti misurabili dipendenti dalla polarizzazione nella interazione di un elettrone o con un campo coulombiano o con un elettrone atomico
- Fra i metodi principali
 - Mott scattering
 - Scattering con il campo Coulombiano del nucleo di un atomo pesante
 - Sensibile solo polarizzazione trasversale alla direzione di moto
 - Møller scattering
 - Interazione dell'elettrone che si vuole analizzare con un elettrone atomico
 - L'elettrone atomico deve essere polarizzato
 - Bhabha scattering
 - Come il precedente ma per analizzare la polarizzazione di positroni
- Analizzeremo solo un esperimento che usa il primo metodo
 - Purtroppo lo scattering Coulombiano dipende dalla polarizzazione solo al secondo ordine dell'approssimazione di Born
 - L'effetto è piccolo: si usano nuclei pesanti (alto Z)
 - Inoltre, come già osservato, è sensibile solo ad una polarizzazione trasversale

- Come trasformare la polarizzazione longitudinale in trasversale?
 - Ovviamente con un campo elettromagnetico
- Per descrivere l'effetto di un campo elettromagnetico classico sullo spin di una particella si può utilizzare l'equazione semiclassica (Bargman, Michel, Telegdi) $\mathfrak{m}=rac{e\hbar}{2mc}$ momento magnetico

$$\hbar \frac{ds^{\mu}}{d\tau} = 2\mathfrak{m}F^{\mu\nu}s_{\nu} - 2u^{\mu}\mathfrak{m}'F^{\nu\lambda}u_{\nu}s_{\lambda}$$



momento magnetico anomalo

- L'equazione descrive il moto del vettore di polarizzazione s^μ sotto l'effetto di un campo elettromagnetico
 - Il campo non deve essere troppo intenso
 - Vale per qualunque campo "macroscopico"
 - Solo per campi a livello microscopico potrebbe essere non valida
- È più intuitivo utilizzare una equazione che descriva il moto del vettore ξ nel sistema di riposo istantaneo della particella
 - In questo sistema l'equazione diventa (assumiamo $\mathfrak{m}'=0$)

$$\left| \hbar \frac{d\xi}{dt} = \frac{2\mathfrak{m}}{\gamma} \xi \times \mathbf{B} + \frac{2\mathfrak{m}}{\gamma + 1} \xi \times (\mathbf{E} \times \boldsymbol{\beta}) \right|$$

• †Landau, Lifshitz - Quantum Electrodynamics §41p,151 - Pergamon Press 1982

- Il sistema utilizzato per ruotare la polarizzazione per elettroni di bassa energia fu inventato nel 1951 da Tolhoek e de Groot
 - ullet Una guida circolare realizza un campo elettrico radiale (B=0)
 - Gli elettroni di energia opportuna seguono una trajettoria circolare
 - Il campo elettrico fornisce una forza centripeta
- Se l'energia dell'elettrone non è elevata ($\gamma pprox 1$)
 - Il moto è praticamente non relativistico
 - Vedremo che la polarizzazione non risente del campo elettrico
 - La direzione dello spin rimane invariata
- Se l'energia dell'elettrone è elevata $(\gamma\gg 1$)
 - Lo spin sente l'effetto del campo elettrico e precessa
- Calcoliamo adesso la rotazione del vettore polarizzazione senza assunzioni sulla velocità dell'elettrone

- Iniziamo calcolando il raggio dell'orbita in funzione del campo elettrico ${\bf E}$ e della velocità
 - · La legge di Newton

$$\frac{d\mathbf{p}}{dt} = e\mathbf{E}$$

• La variazione di quantità di moto dell'elettrone quando ha percorso una lunghezza $Rd\theta$ è $d\mathbf{p}=\mathbf{p}\,d\theta$

• Pertanto
$$d\theta = \frac{\left| d\mathbf{p} \right|}{|\mathbf{p}|} = \frac{|\mathbf{F}| \, dt}{|\mathbf{p}|} = \frac{eEdt}{|\mathbf{p}|} = \frac{eEdt}{mc\gamma\beta}$$

La velocità angolare è

$$\omega_{\mathbf{p}} = \frac{d\theta}{dt} = \frac{eE}{mc\gamma\beta}$$

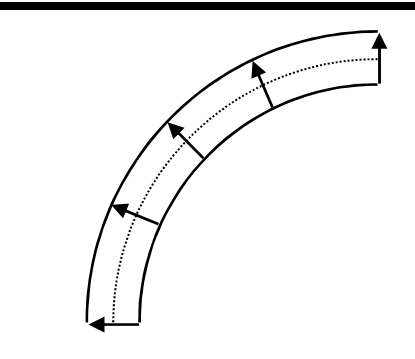
Il periodo

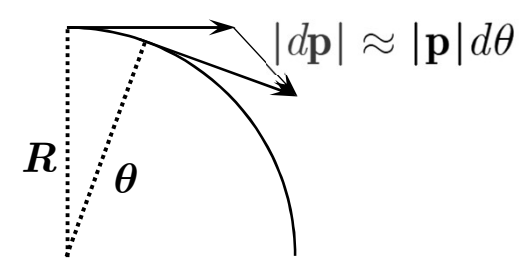
$$T = \frac{2\pi}{\omega_{\mathbf{p}}} = 2\pi \frac{mc\gamma\beta}{eE}$$

A questo punto calcoliamo il raggio dell'orbita

$$2\pi R = \beta c T = \frac{2\pi \beta m c^2 \gamma \beta}{eE}$$

$$R = \frac{mc^2}{eE} \gamma \beta^2$$





- Studiamo adesso la precessione dello spin
 - Ricordiamo l'equazione Bargman, Michel, Telegdi (BMT) con $\mathfrak{m}'=0$

$$h \frac{d\xi}{dt} = \frac{2m}{\gamma} \xi \times \mathbf{B} + \frac{2m}{\gamma + 1} \xi \times (\mathbf{E} \times \boldsymbol{\beta})$$

$$m = \frac{e\hbar}{2mc}$$

$$\mathfrak{m} = \frac{e\hbar}{2mc}$$

• Per
$$\mathbf{B}=\mathbf{0}$$
 diventa
$$\hbar \frac{d\mathbf{\xi}}{dt} = \frac{2\mathfrak{m}}{\gamma+1}\mathbf{\xi}\times(\mathbf{E}\times\mathbf{\beta})$$

- Il vettore $\mathbf{E} \times \boldsymbol{\beta}$ è perpendicolare al piano individuato da \mathbf{E} e $\boldsymbol{\beta}$
- Il vettore $\xi \times (E \times \beta)$ è sul piano ed è perpendicolare a ξ

• Definiamo
$$\Omega_{\xi}$$

• Riscriviamo l'equazione di BMT
$$\bullet \text{ Definiamo } \Omega_{\xi} \qquad \Omega_{\xi} = \frac{2\mathfrak{m}}{\hbar\left(\gamma+1\right)}\mathbf{E}\times\beta \qquad \frac{d\xi}{dt} = \xi\times\Omega_{\xi}$$
 • Descrive una precessione



- · Lo spin quindi precessa
- La variazione dello spin $d\xi$ è sul piano

$$d\theta = \frac{|d\xi|}{|\xi|} = \frac{|\xi \times \Omega_{\xi}|}{|\xi|} dt$$

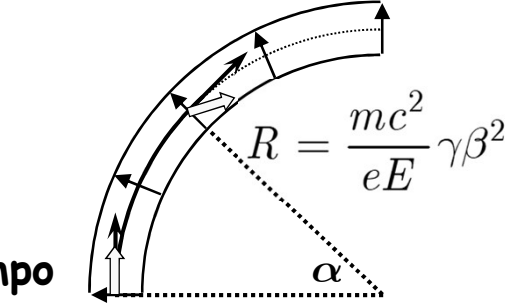
$$d\theta = \frac{|d\xi|}{|\xi|} = \frac{\left|\xi \times \Omega_{\xi}\right|}{|\xi|} dt \qquad \frac{d\theta}{dt} = \omega_{\xi} = \left|\Omega_{\xi}\right| = \frac{2\mathfrak{m}}{\hbar (\gamma + 1)} |\mathbf{E}| |\beta| = \frac{2e\hbar}{\hbar 2mc(\gamma + 1)} |\mathbf{E}| \beta$$

$$\omega_{\xi} = \frac{2eE}{2mc(\gamma+1)}\beta$$

• Supponiamo adesso che l'elettrone abbia percorso un tratto $\Delta \ell$ dell'arco

$$\Delta \ell = R \Delta \alpha = \frac{mc^2}{eE} \gamma \beta^2 \Delta \alpha$$

- · Vogliamo calcolare l'angolo fra
 - La quantità di moto p
 - Il vettore di polarizzazione ξ
- ullet Per percorrere la distanza $\Delta\ell$ l'elettrone impiega un tempo



$$\Delta T = \frac{\Delta \ell}{\beta c} = \frac{mc}{eE} \gamma \beta \Delta \alpha$$

• Ricordiamo la velocità della precessione dello spin $\omega_{\xi} = \frac{2eE}{2mc(\gamma + 1)}\beta$

$$\omega_{\xi} = \frac{2eE}{2mc(\gamma + 1)}\beta$$

ullet Pertanto il vettore di polarizzazione ξ e il vettore p ruotano rispettivamente

$$\Delta\theta_{\mathbf{p}} = \Delta\alpha$$
 $\Delta\theta_{\xi} = \omega_{\xi}\Delta T = \frac{eE}{mc(\gamma+1)}\beta \frac{mc}{eE}\gamma\beta\Delta\alpha = \frac{\gamma\beta^2}{(\gamma+1)}\Delta\alpha$

• Eliminiamo eta

$$\frac{1}{\gamma + 1} = \frac{\gamma - 1}{\gamma^2 - 1} = \frac{\gamma - 1}{\frac{1}{1 - \beta^2} - 1} = \frac{\gamma - 1}{\gamma^2 \beta^2} \to \frac{\gamma \beta^2}{\gamma + 1} = \frac{\gamma - 1}{\gamma}$$

Sostituendo

$$\Delta \theta_{\xi} = \frac{\gamma - 1}{\gamma} \Delta \alpha$$

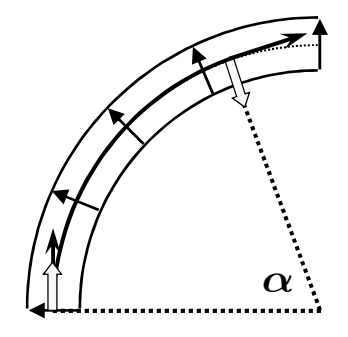
• Pertanto dopo aver percorso uno spazio $\Delta \ell = R \Delta lpha$ l'angolo fra i due vettori è

$$\Delta \theta_{\mathbf{p}\xi} \equiv \Delta \theta_{\mathbf{p}} - \Delta \theta_{\xi} = \left(1 - \frac{\gamma - 1}{\gamma}\right) \Delta \alpha$$

$$\Delta \theta_{\mathbf{p}\xi} = \frac{\Delta \alpha}{\gamma}$$

 Pertanto, affinché la quantità di moto e lo spin siano perpendicolari deve essere

$$\Delta\theta_{\mathbf{p}\xi} = \frac{\pi}{2} = \frac{\Delta\alpha}{\gamma}$$

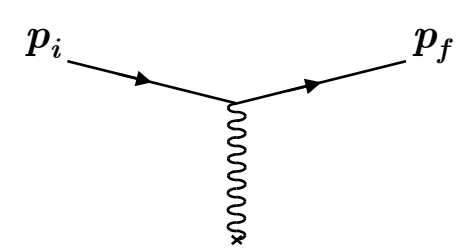


- Dato un elettrone di energia $mc^2\gamma$ la guida deve avere una lunghezza $R\Deltalpha$
- L'angolo $\Delta lpha$ è dato da

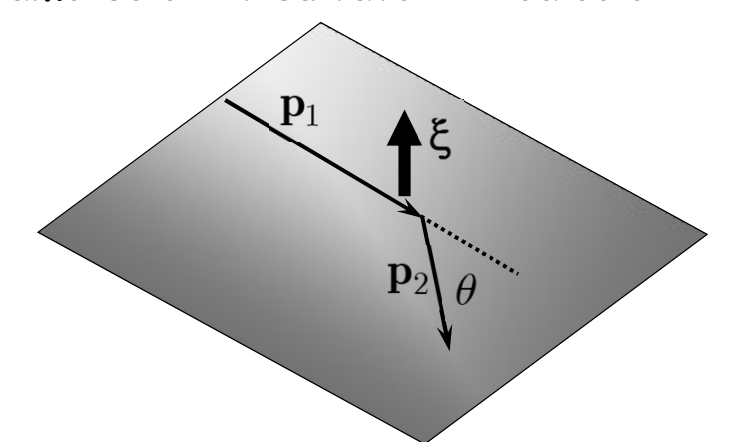
$$\Delta \alpha = \gamma \frac{\pi}{2}$$

Sezione d'urto Mott

- La sezione d'urto Mott è relativa all'interazione di un elettrone con il campo Coulombiano
 - Il bersaglio ha massa infinita
 - Si tiene conto dello spin dell'elettrone con la teoria di Dirac



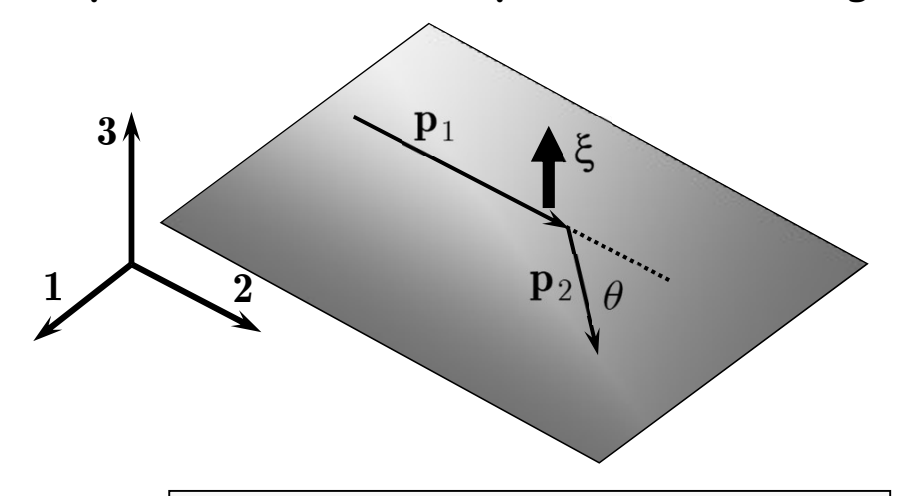
- Abbiamo fatto questo calcolo al primo ordine della teoria perturbativa
 - A questo ordine non appaiono effetti legati alla polarizzazione
 - Una dipendenza dalla polarizzazione compare al secondo ordine†
- Diamo solo il risultato del calcolo



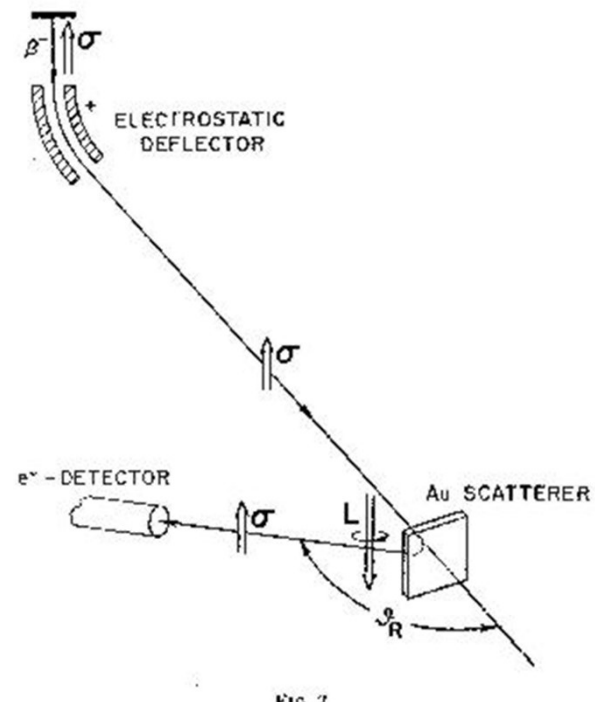
$$\sigma \left(heta, \mathbf{\xi}
ight) \sim I \left(heta
ight) + rac{D \left(heta
ight)}{\left| \sin heta
ight|} \hat{\mathbf{p}}_{1} imes \hat{\mathbf{p}}_{2} \cdot \mathbf{\xi}$$

- Per le funzioni $I(\theta)$ e $D(\theta)$ vedi Landau †
- †vedi Landau Lifshitz Quantum Electrodynamics 12.1 pag 534

• La figura mostra schematicamente l'apparato dell'esperimento di Frauenfelder per la misura della polarizzazione degli elettroni di un decadimento β



$$\sigmaig(heta,m{\xi}ig) \sim Iig(hetaig) + rac{Dig(hetaig)}{ig|\sin hetaig|}\hat{f p}_{f 1} imes \hat{f p}_{2} \cdot m{\xi}$$



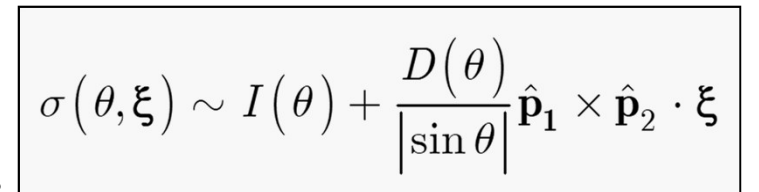
• Notiamo che se l'angolo di deflessione θ_1 va a sinistra il prodotto vettoriale $\hat{p}_1 \times \hat{p}_2$ cambia segno (cambia il segno della componente 1 di p_2)

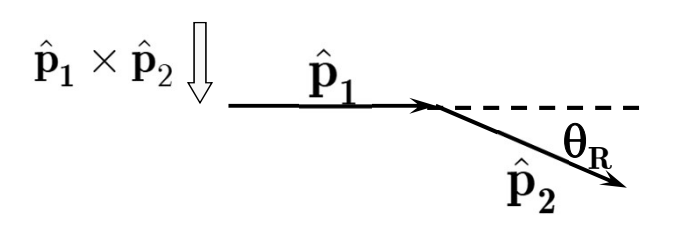
$$\left(\hat{\mathbf{p}}_{1}\times\hat{\mathbf{p}}_{2}\right)_{3}=\varepsilon_{3jk}\hat{p}_{1}^{j}\hat{p}_{2}^{k}=\varepsilon_{321}\hat{p}_{1}^{2}\hat{p}_{2}^{1}$$

- Supponiamo adesso che gli elettroni siano completamente polarizzati
 - In un caso paralleli alla quantità di moto (RH)
 - Nell'altro caso antiparalleli (LH)
- Dopo la rotazione gli elettroni sono ancora completamente polarizzati
 - Nel primo caso verso l'alto
 - Nel secondo verso il basso
- Ricordiamo la formula della sezione d'urto
 - Assumiamo il piano $\mathbf{p}_1 \mathbf{p}_2$ perpendicolare a ξ
- · Le misure da fare sono
 - La sezione d'urto per un angolo $heta_R$

• Spin up
$$\sigma(\theta_R, \uparrow) \sim I(\theta_R) - D(\theta_R)$$
 ξ

• Spin down
$$\sigma(\theta_R, \Downarrow) \sim I(\theta_R) + D(\theta_R)$$
 §





- La sezione d'urto per un angolo θ_L opposto a θ_R
 - Spin up $\sigma(\theta_L, \uparrow) \sim I(\theta_L) + D(\theta_L)$ ξ $\hat{\mathbf{p}}_1 imes \hat{\mathbf{p}}_2 \hat{\eta}$ $\hat{\mathbf{p}}_1$
 - Spin down $\sigma(\theta_L, \Downarrow) \sim I(\theta_L) D(\theta_L)$ § ξ

$$\hat{\mathbf{p}}_1 imes \hat{\mathbf{p}}_2$$
 $\hat{\mathbf{p}}_2$ $\hat{\mathbf{p}}_1$ $\hat{\mathbf{p}}_2$

- Nell'esperimento gli elettroni non sono completamente polarizzati
 - ullet La misura della polarizzazione \wp è l'obbiettivo dell'esperimento
 - La polarizzazione degli elettroni è data da
 - N_+ polarizzati up (probabilità $rac{N_+}{N}$)
 - N_- polarizzati down (probabilità $rac{N_-}{N}$)
- La sezione d'urto osservata per un angolo θ_R è

$$\sigma\!\left(\theta_{R}^{}\right) = \frac{N_{+}^{}}{N} \sigma\!\left(\theta_{R}^{},\Uparrow\right) + \frac{N_{-}^{}}{N} \sigma\!\left(\theta_{R}^{},\Downarrow\right)$$

$$\sigma(heta_R) \sim I(heta_R) - \wp D(heta_R)$$

 $\wp = \frac{N_{+} - N_{-}}{N_{+} + N_{-}} \quad N = N_{+} + N_{-}$

• Analogamente, per un angolo $heta_L$ si osserva

$$\sigma(\theta_L) = \frac{N_+}{N} \sigma(\theta_L, \uparrow) + \frac{N_-}{N} \sigma(\theta_L, \downarrow)$$

$$\sigma(heta_L) \sim I(heta_L) + \wp D(heta_L)$$

• Definiamo l'asimmetria
$$\delta$$
 $\delta = \frac{\sigma(\theta_L) - \sigma(\theta_R)}{\sigma(\theta_L) + \sigma(\theta_R)}$

· Ci mettiamo nella condizione

$$\theta_R = -\theta_L \equiv \theta$$

• Si può verificare che

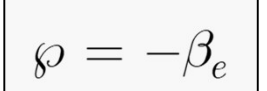
$$I(\theta) = I(-\theta)$$

$$D(\theta) = D(-\theta)$$

$$\delta = \frac{D(\theta)}{I(\theta)} \wp \equiv S(\theta) \wp$$

- S(heta) è noto: la misura di δ permette di misurare \wp
- $\delta = \frac{\overline{D(\theta)}}{I(\theta)} \wp \equiv S(\theta) \wp$

- Osservazioni
 - $S(\theta)$ dipende anche dall'energia dell'elettrone
 - È necessario che gli angoli θ_R e θ_L siano perfettamente simmetrici
 - L'esperimento è sensibile solo alla polarizzazione trasversale
 - ullet Un errore nella rotazione dello spin porta ad un errore sistematico su \wp
 - ullet L'effetto aumenta al crescere di Z
 - Si usano metalli pesanti come l'oro
- Per ottimizzare l'esperimento si può cercare l'angolo al quale l'effetto è più grande
- Occorre però tenere presente che al crescere dell'angolo la sezione d'urto diminuisce
 - Occorre trovare un compromesso tra la dimensione dell'effetto misurato e l'errore statistico con cui esso viene determinato
- La tabella mostra i risultati del primo esperimento
 - ullet Con esperimenti successivi $\mid\wp=-eta_e$



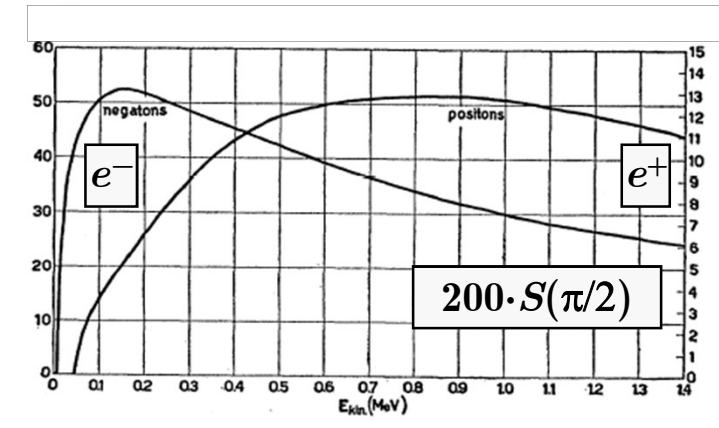


Table I. The polarization of electrons from Co.

Electron energy kev	$\beta = v/c$	Gold scat- tering foil mg/cm ²	Left-right asymmetry L/R	Longitudinal polarization P
50	0.41	0.15	1.03 ± 0.03	-0.04
68	0.47	0.15	1.13 ± 0.02	-0.16
77	0.49	0.05	1.35 ± 0.06	-0.40
77	0.49	0.15	1.30 ± 0.09	-0.35

Determinazione di C_A e C_V

• Abbiamo già visto che la misura della vita media di nuclei permette di determinare la costante di accoppiamento G_{β}

$$\lambda_F = rac{1}{ au} = rac{G_eta^2}{2\pi^3} \xi f$$

• Tuttavia, il parametro ξ contiene una dipendenza dal rapporto $\left. C_A \right/ C_V$

$$\xi = |\langle 1
angle|^2 + rac{C_A^2}{C_V^2} \overline{|\langle \sigma
angle|^2}$$

• I decadimenti di Fermi contengono solo il termine <1> e permettono pertanto la determinazione di $G_{\beta}{}^{\dagger}$ senza ulteriori informazioni

$$G_{\beta} = 1.13578 \pm 0.00027 \times 10^{-5} \,\mathrm{GeV^{-2}}$$

• Ulteriori misure di su transizioni di Gamov-Teller o miste permettono la determinazione di $|C_A/C_V|$

$$\left| \frac{C_A}{C_V} \right| = 1.2695 \pm 0.0029$$

• †Blucher, Marciano PDG 2006 J. Phys. G 33 pag. 677 Ceccucci, Ligeti, Sakai PDG 2006 J. Phys. G 33 pag. 138

Determinazione di C_A e C_V

- Il segno relativo delle due costanti si può determinare solo con la misura di una grandezza osservabile che dipenda dal prodotto $C_A \cdot C_V$ e quindi dall'interferenza fra termini di Fermi e Gamov-Teller
 - Occorre pertanto studiare transizioni di nuclei polarizzati
- Per nuclei non polarizzati l'elemento di matrice contiene il termine $1+a\beta_e\cdot\beta_{
 u}$
- Osservabili che dipendono dal vettore di polarizzazione del nucleo σ contengono termini del tipo

$$1 + a\beta_e \cdot \beta_{\nu} + b\hat{\sigma} \cdot \beta_e + c\hat{\sigma} \cdot \beta_{\nu}$$

• Per neutroni polarizzati si trova

$$b = -2\frac{C_A^2 + C_V C_A}{C_V^2 + 3C_A^2} \quad c = 2\frac{C_A^2 - C_V C_A}{C_V^2 + 3C_A^2}$$

• Misure di correlazione angolare fra la direzione dell'elettrone (o del neutrino) e lo spin nucleare mostrano che il segno relativo è positivo

$$\frac{C_A}{C_V} = +1.2695 \pm 0.0029$$

L'Hamiltoniana del Decadimento eta

- Gli esperimenti descritti hanno permesso la determinazione della forma dell'Hamiltoniana del decadimento β
 - · Sono stati esclusi i termini Scalare e Tensoriale

$$C_S = C_T = 0$$

• Sono state determinate le costanti degli accoppiamenti Vettoriale e Assiale

$$G_{\beta} = GC_{V}$$
 $\frac{C_{A}}{C_{V}} = \kappa$ $\alpha_{V} = \alpha_{A} = 1$

ullet L'Hamiltoniana pertanto contiene solo i termini V e A

$$\mathcal{H}_{I}' = Gig[C_{V}ig(\overline{\psi}_{p}\gamma^{\mu}\psi_{n}ig)ig(\overline{\psi}_{e}ig(1+\gamma^{5}ig)\gamma_{\mu}\psi_{
u}ig) + C_{A}ig(\overline{\psi}_{p}\gamma^{5}\gamma^{\mu}\psi_{n}ig)ig(\overline{\psi}_{e}ig(1+\gamma^{5}ig)\gamma^{5}\gamma_{\mu}\psi_{
u}ig)ig]$$

• Il termine assiale può essere semplificato utilizzando $(\gamma^5)^2=I$

$$\mathcal{H}_{I}^{\prime}=G\big[C_{V}\big(\,\overline{\psi}_{p}\gamma^{\mu}\psi_{n}\,\big)\big(\,\overline{\psi}_{e}\,\big(1+\gamma^{5}\,\big)\gamma_{\mu}\psi_{\nu}\,\big)+C_{A}\big(\,\overline{\psi}_{p}\gamma^{5}\gamma^{\mu}\psi_{n}\,\big)\big(\,\overline{\psi}_{e}\,\big(1+\gamma^{5}\,\big)\gamma_{\mu}\psi_{\nu}\,\big)\big]$$

• Infine raccogliamo la parte leptonica

$$\mathcal{H}_{I}' = G \left[C_{V} \left(\overline{\psi}_{p} \gamma^{\mu} \psi_{n} \right) + C_{A} \left(\overline{\psi}_{p} \gamma^{5} \gamma^{\mu} \psi_{n} \right) \right] \left(\overline{\psi}_{e} \left(1 + \gamma^{5} \right) \gamma_{\mu} \psi_{\nu} \right)$$

L'Hamiltoniana del Decadimento eta

$$\mathcal{H}_{I}' = G\left[C_{V}\left(\overline{\psi}_{p}\gamma^{\mu}\psi_{n}\right) + C_{A}\left(\overline{\psi}_{p}\gamma^{5}\gamma^{\mu}\psi_{n}\right)\right]\left(\overline{\psi}_{e}\left(1 + \gamma^{5}\right)\gamma_{\mu}\psi_{
u}\right)$$

Possiamo ulteriormente semplificare

$$\mathcal{H}_{I}^{\prime}=G\left(\,\overline{\psi}_{p}\left(\,C_{V}\,+\,C_{A}\gamma^{5}\,
ight)\gamma^{\mu}\psi_{n}\,
ight)\!\left(\,\overline{\psi}_{e}\left(1+\,\gamma^{5}\,
ight)\gamma_{\mu}\psi_{
u}\,
ight)$$

• E ancora

$$\mathcal{H}_{I}' = GC_{V}\left(\overline{\psi}_{p}\left(1 + \kappa \gamma^{5}\right) \gamma^{\mu} \psi_{n}\right) \left(\overline{\psi}_{e}\left(1 + \gamma^{5}\right) \gamma_{\mu} \psi_{
u}\right)$$

- Come abbiamo già detto $\kappa=1.27$ e $GC_{V}\equiv G_{eta}$
 - Il valore di κ diverso da $\mathbf 1$ dipende dal fatto che il nucleone non è una particella puntiforme
 - Il protone ha una struttura
 - Ritorneremo su questo punto in seguito
- ullet Per il momento trascuriamo questo aspetto e assumiamo $\kappa=1$
 - Ciò risulta esatto per particelle puntiformi, ad esempio per i quark

$$\mathcal{H}_{I}' = G_{\beta} \overline{\psi}_{p} \left(1 + \gamma^{5} \right) \gamma^{\mu} \psi_{n} \cdot \overline{\psi}_{e} \left(1 + \gamma^{5} \right) \gamma_{\mu} \psi_{\nu}$$

• In una notazione più moderna è diventato abituale spostare la matrice γ^μ a sinistra

$$\mathcal{H}_{I}^{\prime} = G_{eta} \overline{\psi}_{p} \gamma^{\mu} \left(1 - \gamma^{5}\right) \psi_{n} \cdot \overline{\psi}_{e} \gamma_{\mu} \left(1 - \gamma^{5}\right) \psi_{
u}$$

L'Hamiltoniana del Decadimento eta

- Definiamo due generiche correnti (sia adronica che leptonica)
 - Una corrente Vettoriale $J_V^\mu = \overline{\psi} \gamma^\mu \psi$
 - Una corrente Assiale $J_A^\mu = ar{\psi} \gamma^\mu \gamma^5 \psi$
- Le due correnti (adronica e leptonica) compaiono nell'Hamiltoniana nella combinazione $J^\mu = J_V^\mu J_A^\mu.$
 - $\dot{\mathsf{E}}$ questa la famosa forma $V\!-\!A$ delle correnti deboli (cariche)
- Infine, per uniformarci alle notazioni maggiormente utilizzate ridefiniamo la costante di accoppiamento dell'interazione
 - La costante G è stata definita da Fermi prima della scoperta della violazione della parità
 - La generalizzazione dell'interazione di Fermi e l'introduzione della violazione della parità hanno condotto ad una Hamiltoniana che contiene la differenza di due correnti $(V\!-\!A)$
 - Per mantenere la stessa definizione di Fermi è necessario dividere G per $\sqrt{2}$

$$\mathcal{H}_{I}' = \frac{G_{\beta}}{\sqrt{2}} \overline{\psi}_{p} \gamma^{\mu} \left(1 - \gamma^{5}\right) \psi_{n} \cdot \overline{\psi}_{e} \gamma_{\mu} \left(1 - \gamma^{5}\right) \psi_{\nu}$$

Esaminiamo in maggiore dettaglio la corrente leptonica

$$l^{\mu}(x) = \overline{\psi}_e(x) \gamma^{\mu} \left(1 - \gamma^5\right) \psi_{\nu}(x)$$

• L'elemento di matrice di $l^{\mu}(0)$ fra il vuoto e lo stato $|e^-\overline{
u}_e
angle$ è

$$\langle e^{-}\overline{\nu}_{e} | l^{\mu}(0) | 0 \rangle = \overline{u}_{p_{e}} \gamma^{\mu} (1 - \gamma^{5}) v_{p_{\nu}}$$

- Abbiamo già calcolato l'elemento di matrice di un operatore simile nel caso del decadimento β (slide 298)
- Vediamo le conseguenze della presenza della matrice $1-\gamma^5$
 - In particolare cosa implica per l'elettrone
 - Abbiamo visto che nel decadimento β gli elettroni sono polarizzati
- Trasportiamo la matrice $1-\gamma^5$ a sinistra

$$\begin{split} \overline{u}_{p_e} \gamma^{\mu} \left(1 - \gamma^5\right) v_{p_{\nu}} &= \overline{u}_{p_e} \left(1 + \gamma^5\right) \gamma^{\mu} v_{p_{\nu}} = u_{p_e}^{\dagger} \gamma^0 \left(1 + \gamma^5\right) \gamma^{\mu} v_{p_{\nu}} \\ &= u_{p_e}^{\dagger} \left(1 - \gamma^5\right) \gamma^0 \gamma^{\mu} v_{p_{\nu}} = \left[\left(1 - \gamma^5\right) u_{p_e} \right]^{\dagger} \gamma^0 \gamma^{\mu} v_{p_{\nu}} = \overline{\left[\left(1 - \gamma^5\right) u_{p_e} \right]} \gamma^{\mu} v_{p_{\nu}} \end{split}$$

- Dimostriamo adesso che l'applicazione di $1-\gamma^5$ allo spinore u(p) produce un elettrone con polarizzazione β
 - β è la velocità dell'elettrone

Ricordiamo la definizione dell'operatore elicità

$$\hat{h}(\hat{\mathbf{n}}) = \frac{\mathbf{\Sigma} \cdot \mathbf{p}}{|\mathbf{p}|} = \mathbf{\Sigma} \cdot \hat{\mathbf{n}} \qquad \hat{\mathbf{n}} = \frac{\mathbf{p}}{|\mathbf{p}|}$$

- Nel seguito utilizzeremo la rappresentazione di Dirac
 - ullet In questa rappresentazione l'operatore Σ è
- Consideriamo gli spinori $u_{\scriptscriptstyle \perp}$ e $u_{\scriptscriptstyle \perp}$

$$u_{+} = N \begin{pmatrix} \chi_{+} \\ \mathbf{\sigma} \cdot \mathbf{p} \chi_{+} \\ \overline{E + m} \end{pmatrix} = N \begin{pmatrix} \chi_{+} \\ p \chi_{+} \\ \overline{E + m} \end{pmatrix} \qquad u_{-} = N \begin{pmatrix} \chi_{-} \\ \mathbf{\sigma} \cdot \mathbf{p} \chi_{-} \\ \overline{E + m} \end{pmatrix} = N \begin{pmatrix} \chi_{-} \\ -p \chi_{-} \\ \overline{E + m} \end{pmatrix} \qquad N = \sqrt{E + m}$$

- $\chi_{\!\scriptscriptstyle \pm}$ sono spinori bidimensionali autovettori di $\sigma \cdot \hat{n}$
- Si verifica facilmente che gli spinori $u_{\!\scriptscriptstyle \pm}$ sono autostati dell'elicità $|\sigma\cdot\hat{f n}\chi_{\scriptscriptstyle +}=\pm\chi_{\scriptscriptstyle +}$

$$\left| \mathbf{\sigma} \cdot \hat{\mathbf{n}} \chi_{\pm} = \pm \chi_{\pm} \right|$$

• Infatti

$$egin{align} oldsymbol{\Sigma} \cdot \hat{\mathbf{n}} \ u_+ &= egin{pmatrix} oldsymbol{\sigma} \cdot \hat{\mathbf{n}} & \mathbf{0} \\ oldsymbol{0} & oldsymbol{\sigma} \cdot \hat{\mathbf{n}} \end{pmatrix} N egin{pmatrix} \chi_+ \\ p\chi_+ \\ \overline{E+m} \end{pmatrix} &= N egin{pmatrix} oldsymbol{\sigma} \cdot \hat{\mathbf{n}}\chi_+ \\ p\sigma \cdot \hat{\mathbf{n}}\chi_+ \\ \overline{E+m} \end{pmatrix} &= +N egin{pmatrix} \chi_+ \\ p\chi_+ \\ \overline{E+m} \end{pmatrix} &= N egin{pmatrix} \chi_+ \\ p\sigma \cdot \hat{\mathbf{n}}\chi_+ \\ \overline{E+m} \end{pmatrix} &= N egin{pmatrix} \chi_+ \\ p\sigma \cdot \hat{\mathbf{n}}\chi_+ \\ \overline{E+m} \end{pmatrix} &= N egin{pmatrix} \chi_+ \\ p\sigma \cdot \hat{\mathbf{n}}\chi_+ \\ \overline{E+m} \end{pmatrix} &= N egin{pmatrix} \chi_+ \\ p\sigma \cdot \hat{\mathbf{n}}\chi_+ \\ \overline{E+m} \end{pmatrix} &= N egin{pmatrix} \chi_+ \\ p\sigma \cdot \hat{\mathbf{n}}\chi_+ \\ \overline{E+m} \end{pmatrix} &= N egin{pmatrix} \chi_+ \\ p\sigma \cdot \hat{\mathbf{n}}\chi_+ \\ \overline{E+m} \end{pmatrix} &= N egin{pmatrix} \chi_+ \\ p\sigma \cdot \hat{\mathbf{n}}\chi_+ \\ \overline{E+m} \end{pmatrix} &= N egin{pmatrix} \chi_+ \\ p\sigma \cdot \hat{\mathbf{n}}\chi_+ \\ \overline{E+m} \end{pmatrix} &= N egin{pmatrix} \chi_+ \\ p\sigma \cdot \hat{\mathbf{n}}\chi_+ \\ \overline{E+m} \end{pmatrix} &= N egin{pmatrix} \chi_+ \\ p\sigma \cdot \hat{\mathbf{n}}\chi_+ \\ \overline{E+m} \end{pmatrix} &= N egin{pmatrix} \chi_+ \\ p\sigma \cdot \hat{\mathbf{n}}\chi_+ \\ \overline{E+m} \end{pmatrix} &= N egin{pmatrix} \chi_+ \\ p\sigma \cdot \hat{\mathbf{n}}\chi_+ \\ \overline{E+m} \end{pmatrix} &= N egin{pmatrix} \chi_+ \\ p\sigma \cdot \hat{\mathbf{n}}\chi_+ \\ \overline{E+m} \end{pmatrix} &= N egin{pmatrix} \chi_+ \\ p\sigma \cdot \hat{\mathbf{n}}\chi_+ \\ \overline{E+m} \end{pmatrix} &= N egin{pmatrix} \chi_+ \\ p\sigma \cdot \hat{\mathbf{n}}\chi_+ \\ \overline{E+m} \end{pmatrix} &= N egin{pmatrix} \chi_+ \\ p\sigma \cdot \hat{\mathbf{n}}\chi_+ \\ \overline{E+m} \end{pmatrix} &= N egin{pmatrix} \chi_+ \\ p\sigma \cdot \hat{\mathbf{n}}\chi_+ \\ \overline{E+m} \end{pmatrix} &= N egin{pmatrix} \chi_+ \\ \overline{E+m} \end{pmatrix} &= N egi$$

$$\mathbf{\Sigma} \cdot \mathbf{n} \, u_+ = +u_+$$

$$\mathbf{\Sigma} \cdot \mathbf{n} \, u_+ = + u_+$$
 e analogamente $\mathbf{\Sigma} \cdot \hat{\mathbf{n}} \, u_- = - u_-$

• In definitiva, per $\lambda = \pm 1$

$$\sum \cdot \hat{\mathbf{n}} \, u_{\lambda} = \lambda u_{\lambda}$$

- Il risultato precedente significa che $u_{\!\scriptscriptstyle \pm}$ rappresentano spinori completamente polarizzati ($\wp=100\%$)
 - $u_{\scriptscriptstyle +}$ è uno spinore con polarizzazione 100% in direzione parallela a ${
 m p}$
 - u_- è uno spinore con polarizzazione 100% in direzione antiparallela a ${
 m p}$
- Consideriamo adesso un arbitrario spinore nella rappresentazione di Dirac (non necessariamente normalizzato) $(\chi \chi)$ $[\chi_{p} = \frac{1}{2}(1 + \chi^{5})_{H}]$

(ato)
$$u(p) = N \begin{pmatrix} \chi \\ \frac{\mathbf{\sigma} \cdot \mathbf{p} \chi}{E + m} \end{pmatrix} \qquad u_R = \frac{1}{2} (1 + \gamma^5) u$$

$$u_L = \frac{1}{2} (1 - \gamma^5) u$$

- Definiamo le proiezioni chirali u_R e u_L
 - Ricordiamo la forma di γ^5 nella rappresentazione di Dirac

$$\gamma^5 = \begin{pmatrix} 0 & I \\ I & 0 \end{pmatrix} \qquad 1 - \gamma^5 = \begin{pmatrix} I & -I \\ -I & I \end{pmatrix} \qquad 1 + \gamma^5 = \begin{pmatrix} I & I \\ I & I \end{pmatrix}$$

• Otteniamo

$$u_{L} = \frac{1}{2} (1 - \gamma^{5}) u(p) = \frac{N}{2} \begin{pmatrix} I & -I \\ -I & I \end{pmatrix} \begin{pmatrix} \chi \\ \frac{\mathbf{\sigma} \cdot \mathbf{p} \chi}{E + m} \end{pmatrix} = \frac{N}{2} \begin{pmatrix} \left(1 - \frac{\mathbf{\sigma} \cdot \mathbf{p}}{E + m}\right) \chi \\ -\left(1 - \frac{\mathbf{\sigma} \cdot \mathbf{p}}{E + m}\right) \chi \end{pmatrix}$$

• Notiamo che le componenti superiori dello spinore e quelle inferiori non sono più indipendenti

- ullet Osserviamo inoltre che lo spinore u_L non \dot{ullet} un autostato dell'operatore elicità h
 - Tuttavia, si può verificare esplicitamente che il valore medio dell'elicità è

$$\langle h \rangle_L = \frac{\langle u_L \mid \widehat{h} \mid u_L \rangle}{\langle u_L \mid u_L \rangle} = -\frac{p}{E} = -\beta$$

ullet Consideriamo adesso u_R

$$u_{R} = \frac{1}{2} (1 + \gamma^{5}) u(p) = \begin{pmatrix} I & I \\ I & I \end{pmatrix} \begin{pmatrix} \chi \\ \frac{\mathbf{\sigma} \cdot \mathbf{p} \chi}{E + m} \end{pmatrix} = \begin{pmatrix} \left(1 + \frac{\mathbf{\sigma} \cdot \mathbf{p}}{E + m}\right) \chi \\ \left(1 + \frac{\mathbf{\sigma} \cdot \mathbf{p}}{E + m}\right) \chi \end{pmatrix}$$

· Analogamente al caso precedente si può verificare che

$$\langle h \rangle_R = \frac{\langle u_R \mid \widehat{h} \mid u_R \rangle}{\langle u_R \mid u_R \rangle} = + \frac{p}{E} = +\beta$$

- Pertanto gli spinori u_L e u_R
 - Non sono autostati dell'operatore elicità
 - Tuttavia rappresentano stati con polarizzazione parziale $\wp=\pm eta$
 - Notiamo infine che per eta o 1 la polarizzazione diventa completa e le due proiezioni chirali diventano autostati dell'elicità

- Abbiamo pertanto ritrovato il risultato sulla polarizzazione eta che avevamo ottenuto precedentemente con il calcolo esplicito dell'elemento di matrice
 - Possiamo vedere una ulteriore motivazione per la polarizzazione degli elettroni come il risultato della struttura V-A della corrente leptonica
 - L'operatore $1-\gamma^5$ proietta une spinore arbitrarie in une state di polarizzazione parziale longitudinale left-handed
 - ullet Ribadiamo inoltre che la polarizzazione diventa completa quando eta
 ightarrow 1
- Le notazioni u_R e u_L per indicare le proiezioni chirali possono generare confusione
 - Bisogna tenere distinti i concetti di chiralità e elicità
- L'Hamiltoniano delle interazioni deboli contiene le proiezioni chirali
 - Ritorneremo presto su questo punto



Particelle di massa nulla

- Vale la pena approfondire il caso di particelle con massa nulla
 - In questo caso proiezioni di spin e proiezioni chirali coincidono
- Ricordiamo l'equazione di Dirac per gli spinori in forma Hamiltoniana

$$(\mathbf{\alpha} \cdot \mathbf{p} + \beta m)u = Eu$$

• Per una particella di massa nulla (es. il neutrino) l'equazione diventa ($|\mathbf{p}|=p$)

$$\mathbf{\alpha} \cdot \mathbf{p}u = Eu \qquad \qquad \frac{\mathbf{\alpha} \cdot \mathbf{p}}{p}u = u$$

- Abbiamo scelto la soluzione con energia positiva e usato il fatto che se m=0 allora $E=|\mathbf{p}|=p$
- Utilizziamo adesso la rappresentazione di Dirac

$$\boldsymbol{\alpha} = \begin{pmatrix} \mathbf{0} & \boldsymbol{\sigma} \\ \boldsymbol{\sigma} & \mathbf{0} \end{pmatrix} \qquad \qquad \gamma^5 = \begin{pmatrix} 0 & I \\ I & 0 \end{pmatrix} \qquad \qquad \boldsymbol{\alpha} \gamma^5 = \gamma^5 \boldsymbol{\alpha} = \boldsymbol{\Sigma} = \begin{pmatrix} \boldsymbol{\sigma} & \mathbf{0} \\ \mathbf{0} & \boldsymbol{\sigma} \end{pmatrix}$$

• Moltiplicando per γ^5 l'ultima forma dell'equazione di Dirac otteniamo

$$\gamma^5 \frac{\mathbf{\alpha} \cdot \mathbf{p}}{p} u = \gamma^5 u \qquad \left| \frac{\mathbf{\Sigma} \cdot \mathbf{p}}{p} u = \gamma^5 u \right|$$

Particelle di massa nulla

• Analogamente, ricordando che $(\gamma^5)^2=I$ otteniamo

$$\frac{\mathbf{\alpha} \cdot \mathbf{p}}{p} \gamma^5 \gamma^5 u = u \qquad \boxed{\frac{\mathbf{\Sigma} \cdot \mathbf{p}}{p} \gamma^5 u = u}$$

• Sommiamo l'ultima equazione all'ultima della diapositiva precedente $rac{\mathbf{\Sigma}\cdot\mathbf{p}}{m}u=\gamma^5u$

$$\frac{\mathbf{\Sigma} \cdot \mathbf{p}}{p} \left(1 + \gamma^5 \right) u = \left(1 + \gamma^5 \right) u$$

Da cui

$$\left| \frac{\mathbf{\Sigma} \cdot \mathbf{p}}{p} u_R \right| = u_R$$

Se invece sottraiamo

$$\frac{\mathbf{\Sigma} \cdot \mathbf{p}}{p} u - \frac{\mathbf{\Sigma} \cdot \mathbf{p}}{p} \gamma^5 u = \gamma^5 u - u \qquad \frac{\mathbf{\Sigma} \cdot \mathbf{p}}{p} (1 - \gamma^5) u = (\gamma^5 - 1) u$$
 if
$$\frac{\mathbf{\Sigma} \cdot \mathbf{p}}{p} u_L = -u_L$$

• Da cui

$$\frac{\mathbf{\Sigma} \cdot \mathbf{p}}{p} u_L = -u_L$$

 Pertanto, come anticipato, nel caso di massa nulla le proiezioni chirali di una soluzione dell'equazione di Dirac coincidono con gli autostati di elicità

$$u_R = u_+$$

$$u_L = u_-$$

427

Rappresentazione Chirale delle matrici γ

- La rappresentazione di Dirac delle matrici γ è utile stata per discutere il limite non relativistico dell'equazione di Dirac
- Se si vogliono mettere in evidenza altri aspetti sono più convenienti altre rappresentazioni
 - Ad esempio il limite di alta energia o, equivalentemente, il limite di massa nulla
 - · Aspetti legati alla handedness o Chiralità
- In questi casi è conveniente la rappresentazione Chirale o di Weyl[†]

$$\boldsymbol{\alpha} = \begin{pmatrix} \boldsymbol{\sigma} & \boldsymbol{0} \\ \boldsymbol{0} & -\boldsymbol{\sigma} \end{pmatrix} \qquad \boldsymbol{\beta} = \boldsymbol{\gamma}^0 = \begin{pmatrix} 0 & I \\ I & 0 \end{pmatrix} \qquad \boldsymbol{\gamma} = \boldsymbol{\gamma}^0 \boldsymbol{\alpha} = \begin{pmatrix} 0 & -\boldsymbol{\sigma} \\ \boldsymbol{\sigma} & 0 \end{pmatrix} \qquad \boldsymbol{\gamma}^5 = \begin{pmatrix} I & 0 \\ 0 & -I \end{pmatrix}$$
$$\boldsymbol{\alpha} \boldsymbol{\gamma}^5 = \boldsymbol{\gamma}^5 \boldsymbol{\alpha} = \boldsymbol{\Sigma} = \begin{pmatrix} \boldsymbol{\sigma} & \boldsymbol{0} \\ \boldsymbol{0} & \boldsymbol{\sigma} \end{pmatrix} \qquad \frac{1}{2} (1 + \boldsymbol{\gamma}^5) = \begin{pmatrix} I & \boldsymbol{0} \\ \boldsymbol{0} & \boldsymbol{0} \end{pmatrix} \qquad \frac{1}{2} (1 - \boldsymbol{\gamma}^5) = \begin{pmatrix} \boldsymbol{0} & \boldsymbol{0} \\ \boldsymbol{0} & I \end{pmatrix}$$

- ullet Nella rappresentazione di Weyl si separano le proiezioni chirali R e L degli spinori
- Nella rappresentazione di Dirac si separano le componenti Large e Small legate al limite non relativistico
- †Attenzione: la rappresentazione qui riportata è conforme a quella utilizzata nel libro di testo (Aitchison-Hey)
 Nel Peskin-Schoeder e nelle notes di Hitoshi Murayama viene utilizzata una convenzione differente

Rappresentazione Chirale

• Studiamo l'equazione di Dirac nella rappresentazione chirale

$$(\mathbf{\alpha} \cdot \mathbf{p} + \beta m)\psi = E\psi$$

• Utilizziamo la rappresentazione chirale e la rappresentazione a blocchi dello spinore

$$\psi = \begin{pmatrix} \chi \\ \phi \end{pmatrix}$$

· L'equazione diventa

$$\mathbf{\alpha} = \begin{pmatrix} \mathbf{\sigma} \cdot \mathbf{p} & \mathbf{0} \\ \mathbf{0} & -\mathbf{\sigma} \cdot \mathbf{p} \end{pmatrix} \begin{pmatrix} \chi \\ \phi \end{pmatrix} - E \begin{pmatrix} \chi \\ \phi \end{pmatrix} = -m \begin{pmatrix} 0 & I \\ I & 0 \end{pmatrix} \begin{pmatrix} \chi \\ \phi \end{pmatrix}$$

• L'equazione matriciale corrisponde alle due equazioni accoppiate

$$\mathbf{\sigma}\cdot\mathbf{p}\chi-E\chi=-m\phi$$
 nella rappresentazione di $\mathbf{\sigma}\cdot\mathbf{p}\phi-E\chi=-m\chi$ $\mathbf{\sigma}\cdot\mathbf{p}\phi+E\phi=+m\chi$ Dirac avevamo trovato $\mathbf{\sigma}\cdot\mathbf{p}\chi-E\phi=+m\phi$

- Notiamo un aspetto interessante del limite di massa nulla m=0
 - Nella rappresentazione di Weyl le equazioni per χ e ϕ si disaccoppiano
 - Nella rappresentazione di Dirac le due equazioni rimangono accoppiate anche nel caso limite di massa nulla

Particelle di massa nulla

• Nel caso di massa nulla le equazioni diventano ($E = |\mathbf{p}| = p \mid \hat{\mathbf{p}} = \mathbf{p} \mid p$)

$$\mathbf{\sigma} \cdot \mathbf{p}\chi - E\chi = 0$$

$$\mathbf{\sigma} \cdot \mathbf{p}\phi + E\phi = 0$$



$$\mathbf{\sigma} \cdot \hat{\mathbf{p}} \chi = +\chi$$

$$\mathbf{\sigma} \cdot \hat{\mathbf{p}} \phi = -\phi$$

- Vediamo pertanto che i due spinori bidimensionali χ e ϕ sono autostati dell'elicità
- Inoltre nella rappresentazione chirale i due operatori di proiezione sono

$$\frac{1}{2}(1-\gamma^5) = \frac{1}{2}\begin{bmatrix} I & 0 \\ 0 & I \end{bmatrix} - \begin{bmatrix} I & 0 \\ 0 & -I \end{bmatrix} = \begin{bmatrix} 0 & 0 \\ 0 & I \end{bmatrix} \qquad \frac{1}{2}(1+\gamma^5) = \begin{bmatrix} I & 0 \\ 0 & 0 \end{bmatrix}$$

$$\frac{1}{2}(1+\gamma^5) = \begin{pmatrix} I & 0\\ 0 & 0 \end{pmatrix}$$

• Applicando i due operatori allo spinore generico

$$\psi = \begin{pmatrix} \chi \\ \phi \end{pmatrix}$$

$$\psi = \begin{pmatrix} \chi \\ \phi \end{pmatrix} \qquad \left| \psi_R = \frac{1}{2} (1 + \gamma^5) \psi = \begin{pmatrix} \chi \\ 0 \end{pmatrix} \right| \qquad \left| \psi_L = \frac{1}{2} (1 - \gamma^5) \psi = \begin{pmatrix} 0 \\ \phi \end{pmatrix} \right|$$

$$\psi_L = \frac{1}{2} (1 - \gamma^5) \psi = \begin{pmatrix} 0 \\ \phi \end{pmatrix}$$

• Notiamo infine che i due spinori ψ_L e ψ_R sono anche autovettori dell'operatore γ^5 (operatore chiralità) con autovalori +1 e -1

$$\boxed{\gamma^5 \psi_R = +\psi_R} \qquad \boxed{\gamma^5 \psi_L = -\psi_L}$$

$$\gamma^5 \psi_L = -\psi_L$$

- Abbiamo già notato che per m=0 chiralità ed elicità coincidono
- Per una massa non nulla sono due proprietà differenti
 - Elicità o polarizzazione completa $extcolor{C}$ hiralità o polarizzazione parziale $\wp=eta$

- La separazione delle due componenti è specifica delle rappresentazioni chirali
- Tuttavia molte delle altre proprietà viste sono indipendenti dalla massa e dalla rappresentazione
 - Consideriamo ancora i due proiettori

$$\hat{P}_{R} = \frac{1}{2}(1+\gamma^{5})$$
 $\hat{P}_{L} = \frac{1}{2}(1-\gamma^{5})$ $\hat{P}_{R}\hat{P}_{L} = 0$ $\hat{P}_{R} + \hat{P}_{L} = \hat{I}$

• Si può sempre scomporre uno spinore in due componenti chirali $\psi=\psi_L+\psi_R$

$$\psi_R = \frac{1}{2} (1 + \gamma^5) \psi = \widehat{P}_R \psi$$
 $\psi_L = \frac{1}{2} (1 - \gamma^5) \psi = \widehat{P}_L \psi$

ullet Le due componenti chirali di ψ sono autovettori d $ar{f i}$ γ^5

$$\gamma^5 \psi_R = \frac{1}{2} \gamma^5 (1 + \gamma^5) \psi = \frac{1}{2} (\gamma^5 + 1) \psi = +\psi_R$$

$$\gamma^5 \psi_L = \frac{1}{2} \gamma^5 (1 - \gamma^5) \psi = \frac{1}{2} (\gamma^5 - 1) \psi = -\psi_L$$

- In generale le due componenti non sono soluzioni dell'equazione di Dirac
 - Osserviamo che, dato che $\{\gamma^5,\gamma^\mu\}=0,\quad P_R\gamma^\mu=\gamma^\mu P_L\quad$ e $\qquad P_L\gamma^\mu=\gamma^\mu P_R$
- Pertanto se $(p m)\psi = 0 \Longrightarrow (p m)\psi_R = (p m)\widehat{P}_R\psi = (\widehat{P}_L p \widehat{P}_R m)\psi \neq 0$
 - · Analogamente per l'altra componente
- Tuttavia se m=0 le due componenti sono soluzioni dell'equazione di Dirac

$$p\psi=0$$
 \Rightarrow $p\psi_R=p\hat{P}_R\psi=\hat{P}_Lp\psi=0$

Proiezioni chirali e antiparticelle

- ullet Discutiamo adesso le proiezioni chirali degli spinori v associati alle soluzioni con energia negativa
 - Abbiamo già notato che l'associazione dell'elicità fisica +1 agli autovalori dell'operatore $\Sigma \cdot \mathbf{p}$ è opposta a quella degli spinori u
 - Va comunque ricordato che la polarizzazione calcolata con l'elemento di matrice ha sempre il segno corretto, sia che si producano particelle (ad esempio e^-) o antiparticelle (ad esempio e^+)
 - I proiettori di spin covarianti sono stati costruiti in modo da tenere conto dell'inversione di segno
 - Analogamente a quanto succede per l'elicità risulta anche invertito il segno della polarizzazione associata alle proiezioni chirali L e R
- · Questo aspetto è evidente nel caso di particelle di massa nulla
 - · Consideriamo ancora l'equazione di Dirac nella rappresentazione chirale

$$egin{array}{lll} oldsymbol{\sigma} \cdot \mathbf{p}\chi - p_0\chi &= 0 & \text{nel caso di soluzione con} & oldsymbol{\sigma} \cdot \mathbf{p}\chi + E\chi &= 0 \ oldsymbol{\sigma} \cdot \mathbf{p}\phi + p_0\phi &= 0 & \text{energia negativa } p_0 &= -E & oldsymbol{\sigma} \cdot \mathbf{p}\phi - E\phi &= 0 \end{array}$$

Pertanto, per le soluzioni di energia negativa, le relazioni diventano

$$\sigma \cdot \hat{\mathbf{p}} \chi = -\chi$$
 Per le antiparticelle l'elicità delle proiezioni (spinori χ e ϕ) è scambiata

Proiezioni chirali e antiparticelle

- La conseguenza fisica di quanto detto è che nel decadimento eta
 - La particelle sono emesse con polarizzazione -eta: ad esempio l'elettrone
 - Le antiparticelle sono emesse con polarizzazione $+\beta$: ad esempio il neutrino
- Per finire osserviamo che nel decadimento β l'elicità dell'antineutrino è sempre right-handed (vedi diapositiva $\boxed{424}$ e seguente)
 - · Ricordiamo l'elemento di matrice

$$\langle e^{-}\overline{\nu}_{e} | l^{\mu}(0) | 0 \rangle = \overline{u}_{p_{e}} \gamma^{\mu} (1 - \gamma^{5}) v_{p_{\nu}}$$

ullet Lo spinore v si può scomporre

$$v = v_L + v_R = \frac{1}{2}(1 - \gamma^5)v + \frac{1}{2}(1 + \gamma^5)v$$

• Calcoliamo l'effetto dell'operatore $1-\gamma^5$ presente nell'elemento di matrice

$$\begin{array}{ll} \left(1-\gamma^5\right)v &= \left(1-\gamma^5\right)\left[\frac{1}{2}\left(1+\gamma^5\right)+\frac{1}{2}\left(1-\gamma^5\right)\right]v \\ &= \frac{1}{2}\left(1-\gamma^5\right)\left(1-\gamma^5\right)v \ +\frac{1}{2}\left(1-\gamma^5\right)v \\ &= \left(1-\gamma^5\right)v \end{array}$$
 Sopravvive solo v_L

- Pertanto nel decadimento eta
 - L'elicità dell'antineutrino è sempre RH
 - L'elicità del neutrino è sempre LH

- ullet Chiralità L
- Elicità RH(+)

Violazione della parità e momento angolare

- Abbiamo visto che la presenza dell'operatore $1-\gamma^5$ determina una polarizzazione nei leptoni prodotti nel decadimento β
 - Fermioni left-handed
 - Anti-fermioni right-handed
- Questa circostanza ci permette di dare un'interpretazione interessante dei risultati sulle correlazioni angolari nel decadimento eta

$$n \to p + e^- + \overline{\nu}$$

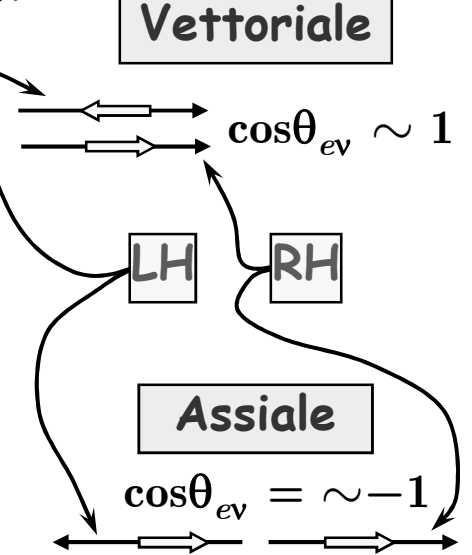
• La correlazione angolare è una conseguenza della conservazione del momento

angolare e del fatto che i due leptoni sono polarizzati

• Abbiamo infatti visto che le transizioni di Fermi non cambiano il momento angolare del nucleo

• I leptoni pertanto sono in uno stato di singoletto e il momento angolare emesso è $\mathrm{S}=\mathbf{0}$

- Per le transizioni di Gamov-Teller invece il momento angolare nucleare varia di una unità
 - I leptoni sono adesso in uno stato di tripletto e il momento angolare emesso è ${\rm S}=1$



Le Correnti chirali Left-Handed

Ci sono altre osservazioni che si possono fare sulla corrente

$$J^{\mu} = \overline{\psi}_a \gamma^{\mu} \left(1 - \gamma^5 \right) \psi_b$$

Osserviamo che

$$\frac{1}{2}(1-\gamma^5)\frac{1}{2}(1-\gamma^5) = \frac{1}{4}(1-2\gamma^5+(\gamma^5)^2) = \frac{1}{4}(2-2\gamma^5) = \frac{1}{2}(1-\gamma^5)$$
$$\frac{1}{2}(1-\gamma^5)\frac{1}{2}(1-\gamma^5) = \frac{1}{2}(1-\gamma^5)$$

• Possiamo pertanto scrivere

$$\begin{split} \overline{\psi}_{a}\gamma^{\mu} \left(1-\gamma^{5}\right) \psi_{b} &= 2 \overline{\psi}_{a} \gamma^{\mu} \frac{1}{2} \left(1-\gamma^{5}\right) \psi_{b} \\ &= 2 \overline{\psi}_{a} \gamma^{\mu} \frac{1}{2} \left(1-\gamma^{5}\right) \psi_{b} \\ &= 2 \overline{\psi}_{a} \frac{1}{2} \left(1+\gamma^{5}\right) \gamma^{\mu} \frac{1}{2} \left(1-\gamma^{5}\right) \psi_{b} \\ &= 2 \psi_{a}^{\dagger} \gamma^{0} \frac{1}{2} \left(1+\gamma^{5}\right) \gamma^{\mu} \frac{1}{2} \left(1-\gamma^{5}\right) \psi_{b} \\ &= 2 \psi_{a}^{\dagger} \frac{1}{2} \left(1-\gamma^{5}\right) \gamma^{0} \gamma^{\mu} \frac{1}{2} \left(1-\gamma^{5}\right) \psi_{b} \\ &= 2 \left[\frac{1}{2} \left(1-\gamma^{5}\right) \psi_{a}\right]^{\dagger} \gamma^{0} \gamma^{\mu} \frac{1}{2} \left(1-\gamma^{5}\right) \psi_{b} \end{split}$$

Le Correnti chirali Left-Handed

$$J^{\mu} = 2 \left[\frac{1}{2} \left(1 - \gamma^5 \right) \psi_a \right]^{\dagger} \gamma^0 \gamma^{\mu} \frac{1}{2} \left(1 - \gamma^5 \right) \psi_b$$

• Introduciamo le proiezioni chirali Left degli operatori di campo

$$\psi_L = \frac{1}{2} \left(1 - \gamma^5 \right) \psi$$

• Inserendo nella corrente abbiamo

$$J^{\mu} = 2 \left[\psi_{aL} \right]^{\dagger} \gamma^{0} \gamma^{\mu} \psi_{bL} = 2 \overline{\psi}_{aL} \gamma^{\mu} \psi_{bL}$$

$$J^{\mu} = 2 \overline{\psi}_{aL} \gamma^{\mu} \psi_{bL}$$

- Pertanto un altro modo di sintetizzare i risultati sperimentali sui decadimenti deboli è
 - Solo le proiezioni chirali Left dei fermioni partecipano ai decadimenti deboli

chiralità non elicità

- ullet Attenzione, solo per le correnti cariche mediate dai bosoni W^\pm
- Nel modello standard questa affermazione si traduce nel limitare il gruppo di simmetria $\mathrm{SU}(2)$ dell'isospin debole alle componenti LH dei campi $SU(2)_L$

Le Correnti chirali Left-Handed

- Per finire una interessante osservazione dovuta a Feynman e Gell-Man
 - Se solo le proiezioni chirali LH dei campi partecipano all'interazione debole allora i tipi possibili di interazione sono solamente V e A
- Infatti nella corrente i vari tipi operatore compaiono nella forma

$$rac{1}{2}ig(1+\gamma^5ig)\Gamma_Xrac{1}{2}ig(1-\gamma^5ig)$$
 NB: $ar\psi_L=ar\psirac{1}{2}ig(1+\gamma^5ig)$

- Questa espressione si annulla per X=S,T (scalare e tensore)
 - X = S: $\Gamma_X = I$

$$\frac{1}{2} \left(1 + \gamma^5 \right) \frac{1}{2} \left(1 - \gamma^5 \right) = \frac{1}{4} \left(1 - \left(\gamma^5 \right)^2 \right) = \frac{1}{4} (1 - 1) = 0$$

• X=T: $\Gamma_T=\gamma^\mu\gamma^
u$

$$\frac{1}{2}(1+\gamma^5)\gamma^{\mu}\gamma^{\nu}\frac{1}{2}(1-\gamma^5) = \frac{1}{4}(1+\gamma^5)(1-\gamma^5)\gamma^{\mu}\gamma^{\nu} = 0$$

ullet Viceversa, per X=V e X=A gli operatori non si annullano

$$\frac{1}{2}(1+\gamma^5)\gamma^{\mu}\frac{1}{2}(1-\gamma^5) = \gamma^{\mu}\frac{1}{2}(1-\gamma^5)\frac{1}{2}(1-\gamma^5) = \gamma^{\mu}\frac{1}{2}(1-\gamma^5) \neq 0$$

$$\frac{1}{2} (1 + \gamma^5) \gamma^5 \gamma^{\mu} \frac{1}{2} (1 - \gamma^5) = \frac{1}{2} \gamma^5 (1 + \gamma^5) \gamma^{\mu} \frac{1}{2} (1 - \gamma^5) = \frac{1}{4} (1 + \gamma^5)^2 \gamma^{\mu} \neq 0$$